

В. Б. Фатеев, Э. Л. Греков

СТЕНД ДЛЯ ОБКАТКИ ТЯГОВЫХ ДВИГАТЕЛЕЙ

Статья посвящена анализу электромеханических характеристик разработанного и внедренного в производство стенда для испытаний тяговых двигателей в разомкнутой и замкнутой системах управления.

Для испытания крупных тяговых двигателей постоянного тока с последовательным возбуждением электровозов на Оренбургском локомотивно-ремонтном заводе создан и внедрен в производство стенд, позволяющий проводить практически все регламентные программы приемо-сдаточных испытаний. Принципиальная схема разработанного стенда представлена на рисунке 1.

Якорная обмотка и обмотка возбуждения L_M испытуемого двигателя M соединены последовательно с якорной обмоткой генератора G и тиристорным преобразователем $UZ1$. Двигатель и генератор имеют также механическую связь валов. Тиристорный преобразователь представляет собой двухконтурную замкнутую систему по току якоря с помощью датчика тока ΔT и регулятора тока PT и напряжению посредством датчика напряжения ΔH и регулятора напряжения двигателя. Обмотка возбуждения L_g генератора подключена по схеме независимого возбуждения к тиристорному преобразователю $UZ2$, в котором реализована одноконтурная схема регулирования тока возбуждения.

Схема замещения силовой части имеет следующий вид (рисунок 2).

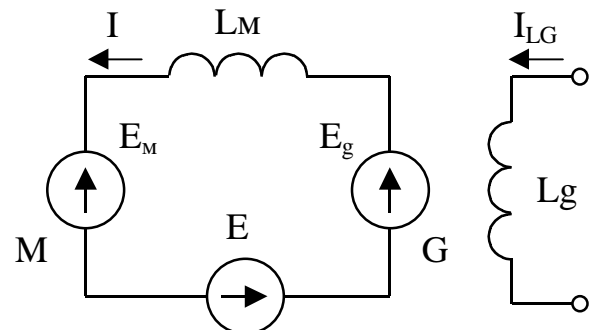


Рисунок 2. Схема замещения.

Уравнения, характеризующие работу в статическом режиме

$$E + E_g - E_m = I \cdot R_{\Sigma} \quad (1)$$

$$M_m = Mg + \Delta M \quad (2)$$

где E – ЭДС преобразователя,

$E_g = K_g \cdot \Phi_g \cdot \omega$ – ЭДС генератора,

$E_m = K_m \cdot \Phi_m \cdot \omega$ – противо – ЭДС двигателя,

K_g, K_m – конструктивные параметры генератора и двигателя. Так как в качестве генератора и двигателя используются однотипные машины, то $K_g = K_m = K$.

Φ_g, Φ_m – магнитные потоки генератора и двигателя,

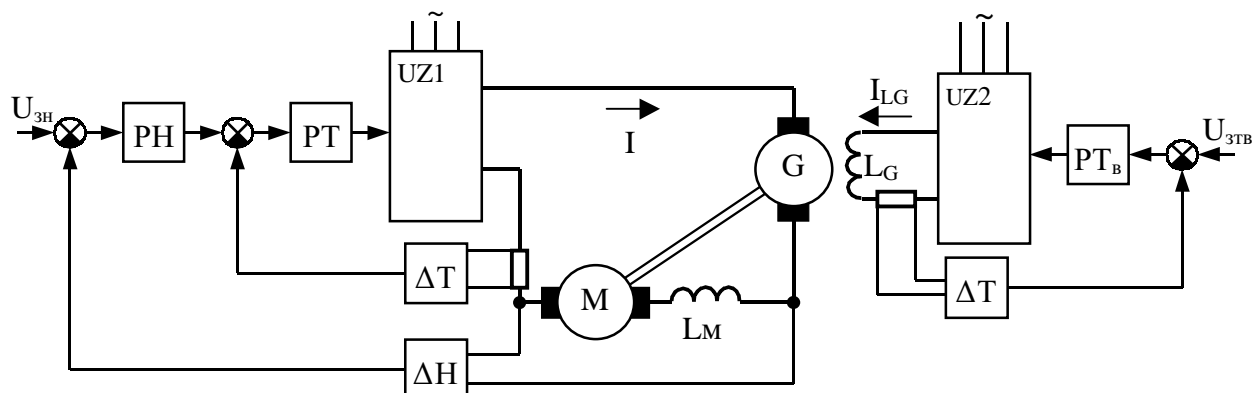


Рисунок 1. Принципиальная схема стенда обкатки тяговых двигателей.

I – ток якорной цепи,
 $R\Sigma = R_p + R_g + R_m$ – суммарное сопротивление якорной цепи,
 R_p, R_g, R_m – сопротивления преобразователя, якоря генератора и двигателя,
 $M_m = K \cdot \Phi_m \cdot I$ – электромагнитный момент двигателя,
 $M_g = K \cdot \Phi_g \cdot I$ – электромагнитный момент генератора,
 ΔM – момент потерь.

Из (1) и (2) следует

$$\begin{aligned} E &= K \cdot \omega \cdot (\Phi_m - \Phi_g) + I \cdot R_\Sigma = \\ &= K \cdot \omega \cdot \Phi_m \cdot \left(1 - \frac{\Phi_g}{\Phi_m}\right) + I \cdot R_\Sigma \end{aligned} \quad (3)$$

и уравнение (3) с учетом (4) представляется в виде

$$E = \frac{\Delta M}{I} \cdot \omega + I \cdot R_\Sigma \quad (3a)$$

или $P_p = E \cdot I = \omega \cdot \Delta M + I^2 \cdot R_\Sigma = \Delta P + \Delta P_e$ (4)

где P_p – мощность тиристорного преобразователя,

$\Delta P_m, \Delta P_e$ – мощности механических и электрических потерь.

Уравнение электромеханической характеристики получается из (3)

$$\omega = \frac{E}{K \cdot \Phi_m \cdot \left(1 - \frac{\Phi_g}{\Phi_m}\right)} - I \cdot \frac{R_\Sigma}{K \cdot \Phi_m \cdot \left(1 - \frac{\Phi_g}{\Phi_m}\right)} \quad (5)$$

Магнитные потоки машин являются функциями тока возбуждения,

$$\begin{aligned} \Phi_m &= b_m \cdot I \\ \Phi_g &= b_g \cdot I_{LG} \end{aligned} \quad (6)$$

Из уравнения (2) следует, что момент двигателя должен быть больше момента генератора. В тоже время, если пренебречь моментом потерь, то из (2) с учетом (6) следует

$$\begin{aligned} \Phi_m &\geq \Phi_g \\ b_m \cdot I &\geq b_g \cdot I_{LG}, \end{aligned}$$

Приняв $\alpha_m \equiv \alpha g = \alpha$, уравнение (5) записывается в виде

$$\omega = \frac{E}{K \cdot b \cdot I \cdot \left(1 - \frac{I_{LG}}{I}\right)} - \frac{R_\Sigma}{K \cdot b \cdot \left(1 - \frac{I_{LG}}{I}\right)} \quad (7)$$

Полученное уравнение похоже на уравнение двигателя последовательного возбуждения, но от-

личается наличием в знаменателе множителя

$$(1 - \frac{I_{LG}}{I})$$

Проведем анализ полученной характеристики

1. $I \rightarrow \infty$, то $1 - I_{LG}/I \rightarrow 1$, а $\omega \rightarrow -R_\Sigma / K \cdot b$

2. $\omega = 0$, то $I = E / R_\Sigma$ – пусковой ток

$$3. I \equiv I_{LG}, \text{ то } \omega = \frac{E - I \cdot R_\Sigma}{K \cdot b \cdot (I - I_{LG})} \rightarrow \infty.$$

Результаты анализа представлены на рисунке 3.

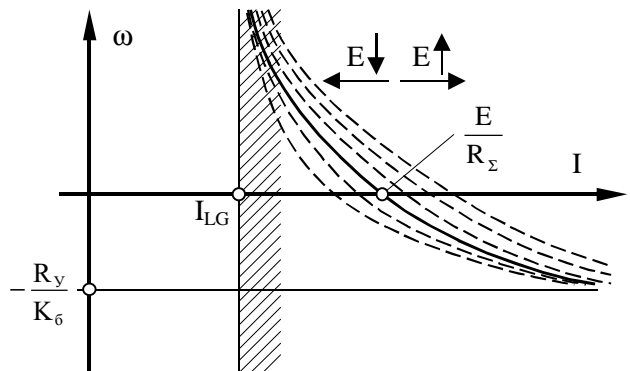


Рисунок 3. Электромеханические характеристики без обратных связей.

Из представленного анализа следует:

– при изменении E преобразователя изменяется пусковой ток и скорость вращения,

при изменении тока возбуждения изменяется и ток, и скорость вращения,

– характеристика асимптотически ограничена по току слева, равному току возбуждения, и по скорости снизу, равной $-R_\Sigma / K \cdot b$,

– так как момент потерь пренебрежительно мал по сравнению с моментом генератора, то из (4) следует, что рабочий участок находится около I_{LG} и характеризуется очень мягкой характеристикой и, следовательно, большой скоростью вращения, небольшие колебания тока (момента) приведут к значительным изменениям скорости.

Для повышения регулировочных свойств и устойчивости работы в систему введены обратные связи по току и напряжению.

На рисунке 4 представлена структурная схема стенда.

Система уравнений, характеризующая работу, представляется в виде:

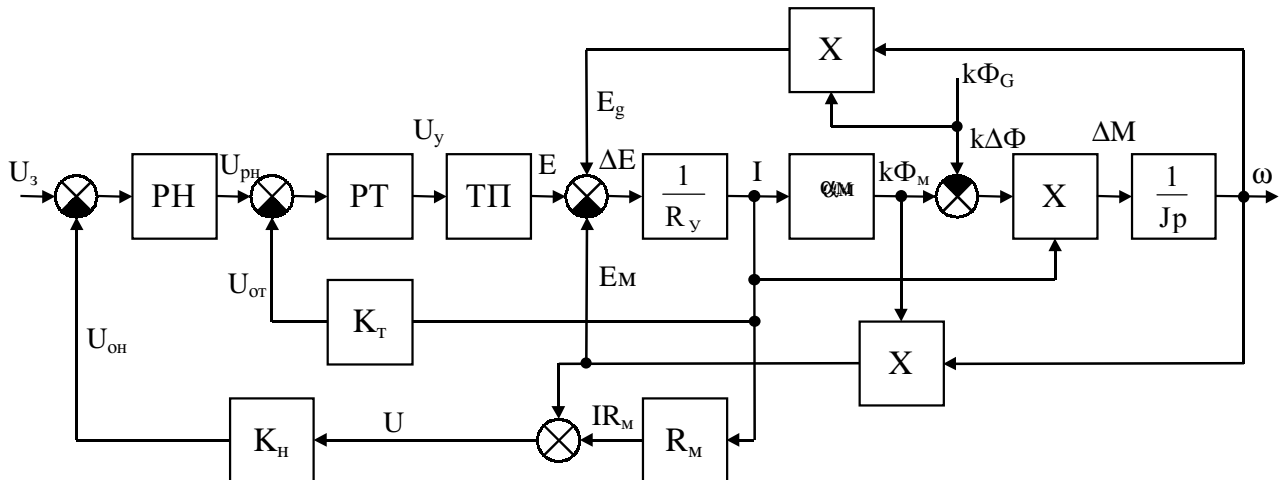


Рисунок 4. Структурная схема двигателей, включенных по схеме взаимной нагрузки.

$$E = K_{\pi} \cdot U_y$$

$$U_y = K_{pt} \cdot (U_{ph} - U_{ot}) = K_{pt} \cdot (U_{ph} - K_T \cdot I)$$

$$U_{ph} = K_{ph} \cdot (U_3 - U_{oh}) = K_{ph} \cdot (U_3 - K_H \cdot U) \quad (8)$$

$$U = K \cdot \Phi_M \cdot \omega + I \cdot R_{ya}$$

где K_{π} – коэффициент усиления тиристорного преобразователя,

K_{pt} , K_{ph} – коэффициенты усиления регуляторов тока и напряжения,

K_T , K_H – коэффициенты преобразования обратных связей по току и напряжению,

U_y – напряжение управления,

U_{ot} – напряжение обратной связи по току,

U_{oh} – напряжение обратной связи по напряжению,

U_{ph} – выходное напряжение регулятора напряжения,

U_3 – напряжение задания.

Решая уравнения (7) и (8) получим уравнение электромеханической характеристики

$$\omega = \frac{K_{\pi} \cdot K_{ph} \cdot K_{pt} \cdot U_3}{K \cdot (\Phi_M - \Phi_g + K_{\pi} \cdot K_{ph} \cdot K_{pt} \cdot K_H \cdot \Phi_M)} - \\ - I \cdot \frac{R_{\Sigma} + K_{\pi} \cdot K_{pt} \cdot (K_T + K_{ph} \cdot K_H \cdot R_{ya})}{K \cdot (\Phi_M - \Phi_g + K_{\pi} \cdot K_{ph} \cdot K_{pt} \cdot K_H \cdot \Phi_M)} \quad (9)$$

Если принять $\Phi_M = \Phi_g$, то

$$\omega = \frac{U_3}{K \cdot K_H \cdot \Phi_M} -$$

$$- I \cdot \frac{R_{\Sigma} + K_{\pi} \cdot K_{pt} \cdot (K_T + K_{ph} \cdot K_H \cdot R_{ya})}{K \cdot K_{\pi} \cdot K_{ph} \cdot K_{pt} \cdot K_H \cdot \Phi_M} \quad (10)$$

При $\Phi_M = \alpha \cdot I$

$$\omega = \frac{U_3}{K \cdot K_H \cdot \alpha \cdot I} -$$

$$- \frac{R_{\Sigma} + K_{\pi} \cdot K_{pt} \cdot (K_T + K_{ph} \cdot K_H \cdot R_{ya})}{K \cdot \alpha \cdot K_{\pi} \cdot K_{pt} \cdot K_{ph} \cdot K_H} \quad (11)$$

Проведем анализ полученной характеристики

– при $I \rightarrow \infty$

$$\omega = - \frac{R_{\Sigma} + K_{\pi} \cdot K_{pt} \cdot (K_T + K_{ph} \cdot K_H \cdot R_{ya})}{K \cdot K_{\pi} \cdot K_{pt} \cdot K_{ph} \cdot K_H} = \omega_{rp}$$

– при $I = 0 \quad \omega \rightarrow \infty$

– при $\omega = 0$

$$I = \frac{U_3 \cdot K_T \cdot K_{pt} \cdot K_{ph}}{R_{\Sigma} + K_{\pi} \cdot K_{pt} \cdot (K_T + K_{\pi} \cdot K_{ph} \cdot R_{ya})} = I_{rp}$$

Результаты анализа представлены на рисунке 5.

Из рисунка видно, что:

– область с $\omega \rightarrow \infty$ сдвинулась к току, равному нулю,

– при $I \equiv I_{rp}$ характеристика обладает достаточной и регулируемой жесткостью,

– скорость вращения практически пропорциональна задающему напряжению,

– так как ток возбуждения генератора является независимым регулируемым параметром, то

рабочую зону можно сдвигать как в сторону увеличения, так и в сторону уменьшения тока двигателя.

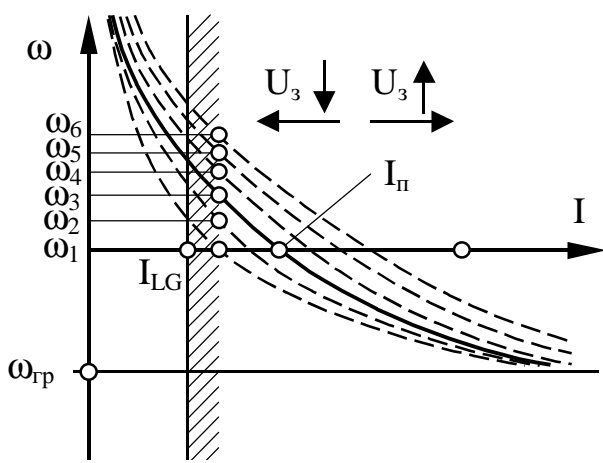


Рисунок 5. Электромеханические характеристики с обратными связями.

Выводы.

1. Мощность тиристорного преобразователя выбирается из условия компенсации потерь в установке.

2. Для работы двигателя в режиме двигателя необходимо, чтобы ток якоря, и, следовательно, ток возбуждения двигателя превышал ток возбуждения генератора.

3. Введение обратных связей позволяет:

- увеличить жесткость характеристик и устойчивость,

- улучшить управляемость стенда.

4. Предлагаемая схема имеет ряд существенных преимуществ перед традиционной схемой с использованием линейного генератора и вольтодобавочной машины /1/:

- уменьшаются массо-габаритные показатели и установленная машинная мощность,

- уменьшаются выходные напряжения преобразователей (в несколько раз меньше номинальных напряжений испытуемых машин),

- регулирование тока и напряжения происходит в широких пределах, что позволяет испытывать практически любые тяговые двигатели последовательного возбуждения,

- простота управления, не требующая квалифицированного персонала.

Список использованной литературы:

1. Жерве Г.К. Промышленные испытания электрических машин. – Л.: Энергоатомиздат. 1984. – 408 с.